

## خواص تراابر دی مغناطیسی و اثر هال در نمونه های GdPr-123

حسین خسروآبادی، وحید دادمهر و محمد آخوند

آزمایشگاه تحقیقاتی مغناطیس (MRL)، دانشکده فیزیک، دانشگاه صنعتی شریف

دریافت نسخه نهایی: ۸۱/۲/۳۱ (دریافت مقاله: ۸۰/۶/۱۲)

### چکیده

نمونه های تک چند بلوری  $Gd_{1-x}Pr_xBa_2Cu_3O_y$  با استوکیومتری  $x=0.05, 0.10, 0.15$  با روش استاندارد واکنش حالت جامد، ساخته و با انجام آزمایش های XRD و SEM مشخصه یابی شدند. اندازه گیری های مقاومت و وزن، اثر هال و مقاومت مغناطیسی بر روی این نمونه ها انجام شد. نتایج اندازه گیری مقاومت و وزن نشان می دهد که هر سه ترکیب ساخته شده دارای گذار ابرسانایی می باشند. دما و پهنه ای گذار این نمونه ها با افزایش مقدار آلایش Pr در ترکیب به ترتیب کاهش و افزایش می بایند. اندازه گیری اثر هال این نمونه ها، یک رفتار ناهمجارت دمایی در ضربی هال را نشان می دهد. در نمونه  $Gd_{0.8}Pr_{0.1}Ba_2Cu_3O_y$  یک تغییر علامت ضربی هال نسبت به دما دیده شده است. اندازه گیری مقاومت مغناطیسی این نمونه ها در بازه  $0 \text{ to } 10 \text{ kOe}$  نشان می دهد که تغییرات مقاومت و وزن در حالت بهنجار ( $T_c > T_h$ ) با افزایش میدان مغناطیسی کوچک، اما در حالت مخلوط، بزرگ است. مشاهده شده است که با افزایش میدان، پهنه ای گذار ابرسانایی افزایش می باید و یک رفتار توانی از H را نشان می دهد. همچنین از این آزمایشها رفتار دمایی ( $H_{c2}(T)$ ) در نمونه ها به دست آمده است. از نحوه پهن شدن گذار، انرژی می خوبی و وابستگی آن به میدان مغناطیسی محاسبه شده است. نتایج نشان می دهد که انرژی می خوبی با افزایش میدان مغناطیسی و ناخالصی Pr در نمونه کاهش می باید.

**واژه های کلیدی:** ابر رساناهای دمای بالا، اثر هال، مقاومت مغناطیسی، انرژی می خوبی.

### ۱. مقدمه

بیشتر آزمایشها در بررسی خواص و فهم پدیده ابر رسانایی دمای بالا در این ترکیبات، از طریق بررسی تغییرات دمایی کمیتهای مختلف و همچنین تغییر آنها با آلایش عناصر مختلف در حالت های بهنجار ( $T_c > T_h$ ) و ابر رسانا ( $T_h < T_c$ ) انجام می شود. جاینشینی عناصر نادر زمین به جای ایتریوم در ترکیب  $Y-123$  نشان می دهد که این جاینشینی به استثنای چند مورد Pm، Ce، Pr و Tb، اثرات مهمی بر خواص حالات ابر رسانایی و بهنجار و از جمله دمای گذار این ترکیبات ندارد [۲]. از این چهار عنصر، تنها Pr ساختار با پایه ۱۲۳ را تشکیل می دهد Pr به خاطر داشتن هسته ناپایدار و Ce و Tb به خاطر داشتن طرفیت  $+4$  ساختار ۱۲۳ پایدار را تشکیل نمی دهنده. Pr در ترکیبات

پس از کشف پدیده ابر رسانایی دمای بالا، تحقیقات بسیاری روی ساختار و بررسی خواص مختلف این مواد انجام شده است [۱]. هدف این گونه تحقیقات علاوه بر شناخت خواص ناشناخته این مواد و تایید نتایج به دست آمده، بررسی روش های ساخت نمونه هایی با کیفیت بالا برای اعتماد بیشتر به نتایج آزمایشها می باشد. اگرچه نمونه هایی با کیفیت بالا و تک فاز از ترکیبات مورد نظر برای بررسی دقیق تجربی این مواد لازم است، بهینه کردن پارامتر هایی مانند دمای گذار ( $T_h$ )، جریان بحرانی (J<sub>c</sub>)، حد بالای میدان بحرانی ( $H_{c2}$ ) و خواص مکانیکی کپهای این مواد، از جنبه کاربرد این مواد در صنعت نیز با اهمیت می باشد.

$R_H$  و Ca و Mg باشد [۱۱]. نتایج آزمایشها نشان می‌دهد که حتی در محدوده  $T > 300\text{ K}$  نیز به طور یکنواخت با افزایش دما کاهش می‌یابد. اگرچه این رفتار در بیشتر خانواده‌های ابررساناهای دمای بالا دیده شده است، مهمترین وابستگی در خانواده  $\text{R}-123$   $R$  رخ می‌دهد. رفتار  $1/T^{\alpha}$  برای  $\tan\theta_H$  (با زاویه  $\theta_H$ ) هال است) و رفتار  $1/T^{\alpha}$  در رسانندگی هال از دیگر ناهنجاریهای مشاهده شده در این ترکیبات، مشاهده همبستگی جالب دیگر در حالت هنجار این ترکیبات، مشاهده همبستگی کاهش شبیب چگالی هال  $n_H$  بر حسب  $T$  ( $dn_H/dT$ )، با کاهش  $T_c$  می‌باشد که با جاینشینی یونهای مغناطیسی  $\text{Co}^{+2}$ ،  $\text{Ni}^{+2}$  و  $\text{Fe}^{+2}$  یا غیر مغناطیسی  $\text{Zn}^{+2}$  به جای  $\text{Cu}^{+2}$  در سیستم  $\text{Y}-123$  نتیجه شده است [۱۲]. مشاهده همین رفتار در سیستم  $\text{La}_{1-x}\text{Sr}_x\text{CuO}_4$  با آلایش Ni [۱۳] و در سیستم  $\text{Ti}_x\text{Ba}_y\text{CaCu}_3\text{O}_{8-\delta}$  با تغییر مقدار آلایش  $x$  در سیستم  $\text{Y}-123$  و  $\text{Gd}-123$  انجام شده است [۱۴]. نتایج نشان می‌دهد که افزایش مقدار Pr در ترکیبات  $\text{Pr}-123$  (R عنصر نادر زمین و  $x < 1$ )، دمای گذار را کاهش داده و در مقدار حدی  $x \approx 0.45$  در سیستم  $\text{GdPr}-123$ ، سبب اضمحلال ابررسانش در این سیستم می‌شود [۵]. مطالعات وسیع در این زمینه، مکانیزمهای مختلفی را برای اضمحلال ابررسانایی با آلایش Pr در این ترکیبات ارائه کرده است. سازوکارهای اصلی پیشنهاد شده در این فرآیند عبارتند از: شکست جفت‌های ابررسانایی توسط گشتاور مغناطیسی Pr [۶]، پرشدن حفره‌ها [۷] و یا جایگزینی شدن حفره‌ها [۸] در صفحات رسانای  $\text{CuO}_2$ . بنابراین جایگزینی Gd یا Y با Pr و بررسی خواص ابررسانایی و از جمله تغییرات کمیتهای مختلف با تغییر مقدار Pr، می‌تواند حاوی اطلاعات مفیدی در مورد پدیده ابررسانایی باشد. نقش Pr در ابررساناهای دمای بالا به تازگی در مرجع [۹] مرور شده است.

اثر هال یکی از مفیدترین آزمایشها برای به دست آوردن اطلاعات الکترونی از جمله مقدار و نوع چگالی حاملهای رسانش می‌باشد. آزمایشها اثر هال در ترکیبات ابررساناهای دمای بالا یک رفتار ناهنجار دمایی را نشان می‌دهد [۱۰]. این رفتار ناهنجار باعث شده است که این موضوع از بحث انگیزترین موضوعها و از دشوارترین آنها برای درک درک این ترکیبات باشد. از مشاهدات آزمایشها مختلف نتیجه شده است که وابستگی ضریب هال ( $R_H$ ) در حالت بهنجار که به صورت  $1/T$  با دما تغییر می‌کند، در تنافق آشکاری با همین رفتار در فلزات معمولی با سطح فرمی پیچیده مانند  $\text{Ag}$ ،  $\text{Cu}$ ،

## 1. charge conjugation symmetry

## 2. skew scattering

نمونه‌های دانه‌ای، میدانهای مغناطیسی کوچک در حد  $10^{\circ}\text{C}$  نیز باعث ایجاد این پهن شدگی می‌شوند [۳۰]. مشاهده پهن شدگی غیر معمول حتی برای میدانهای مغناطیسی موازی با جریان انتقالی در نمونه، سبب ارائه تفسیرهای مختلفی برای منشأ این رفتار شده است. از جمله این نظریه‌ها، خرز شار فعال شده گرمایی [۳۱]، ذوب شدگی خطوط شار<sup>۳</sup> [۳۲]، قطع شدگی شار<sup>۴</sup>، خمیدگی خطوط شار<sup>۵</sup> [۳۳]، گیراندازی شار<sup>۶</sup> [۳۴] و لغزش فاز فعال شده گرمایی<sup>۷</sup> [۳۵] می‌باشدند. در این پژوهش سعی شده است تا با اندازه گیریهای مقاومت مغناطیسی و اثر هال، تأثیر آلایش Pr بر ترکیبات Gd-۱۲۳ و تغییر خواص حالت بهنجار و ابررسانایی آن بررسی شود. این پژوهش تجربی در ادامه و تکمیل پژوهش‌های بررسی خواص الکترونی سیستم ابررسانای دمای بالا ۱۲۳-۷ است که قبل ارائه گردیده است [۳۶].

## ۲. آزمایش

نمونه‌های سرامیک  $\text{Gd}_{1-x}\text{Pr}_x\text{Ba}_7\text{Cu}_7\text{O}_{7-\delta}$  با استوکیومتری  $x=0.05, 0.1, 0.15$  و  $0.2$  با روش استاندارد واکنش حالت جامد ساخته شدند. پودرهای  $\text{Pr}_2\text{O}_{11}$ ,  $\text{CuO}$ ,  $\text{Gd}_2\text{O}_3$ ,  $\text{BaCO}_3$  با  $10^{\circ}\text{C}$  خلوص  $99.9\%$  با استفاده از ترازوی الکتریکی با دقیق  $10^{-5}$  گرم توزین شدند. با توجه به جاذب رطوبت بودن  $\text{Pr}_2\text{O}_{11}$ ، قبل از توزین آن را کاملاً خشک می‌کنیم. سپس مخلوط همگنی از پودرهای، به منظور افزایش تماس بین پودرهای و بهتر انجام شدن واکنشهای حالت جامد تهیه می‌شود.

به منظور خارج کردن اجزای غیرفلزی مانند  $\text{CO}_2$  و بخار آب اضافی و فراهم شدن شرایط برای تشکیل سلول واحد ۱۲۳، فرایند تکلیس با دمای  $840^{\circ}\text{C}$  انجام شده است. در این مرحله، از کوره مکعبی کالیبره شده استفاده شده است. آهنگ افزایش دما تا حدود  $500^{\circ}\text{C}$  اهمیتی ندارد اما در فاصله دمایی

بحث و با اهمیت باقی مانده است. پدیده معما گونه دیگر، تغییرات علامت ضربه هال با تغییر دما، اعمال میدان و آلایش در این ترکیبات می‌باشد که مورد توجه فراوانی قرار گرفته است. اگرچه تلاشهایی در توجیه این پدیده انجام شده است، از جمله بررسی حرکت گردابه‌ها [۲۰]، در نظر گرفتن نیروی و شکسانی<sup>۱</sup> وارد بر گردابه‌ها در نظریه کلاسیکی بار دین-استفن [۲۱] و نوزیرس-وینن [۲۲]، ارائه مدل ترمولکتریکی [۲۳]، استفاده از نگرشی بر پایه معادله وابسته به زمان گینزبرگ-لاندانو [۲۴]، وجود دو نوع حاملهای بار [۲۵] و برگشت جریان ناشی از میخکوبی [۲۶]، ولی تاکنون توجیه کاملی برای این پدیده ارائه نشده است.

مشاهده پدیده‌های مختلف در حضور میدان مغناطیسی مانند پهن شدگی گذار دمایی مقاومت ویژه، خطوط برگشت پذیری، کاهش سریع چگالی جریان بحرانی با افزایش دما، ظهور اثرات کوانتومی در نزدیکی دمای صفر مطلق و غیره، سبب افزایش اهمیت مطالعات مغناطیسی در ترکیبات ابررساناهای دمای بالا شده است [۱]. همچنین به منظور افزایش وسعت محدوده کاربردی این ترکیبات، بررسی  $J$  و میدان مغناطیسی بحرانی ضروری به نظر می‌رسد. حرکت خرزی گردابه‌ها در اثر افت و خیر گرمایی در حالت  $J < 0$ ، سبب ظهور مقاومت الکتریکی در حالت مخلوط می‌شود که به صورت  $p_n e^{-U/kT} = p$  نشان داده می‌شود [۲۶]. میخکوبی گردابه‌ها توسط ناکاملیهای موجود در نمونه، روش موثر برای جلوگیری از این اتلاف انرژی است. ناکاملیها در این ترکیبات دارای انواع مختلفی هستند که می‌توان به دررفتگیها، ترکها، مرزهای دوقلویی و آلایش عنصر مختلف در هنگام ساخت نمونه، و یا اعمال فشار و تابش ذرات پرانرژی [۲۷] پس از ساخت نمونه، اشاره کرد. با ایجاد این گونه ناکاملیها در نمونه، می‌توان  $J$  را تا مقدار بهینه افزایش داد که از جنبه کاربردی در این ترکیبات بسیار مهم می‌باشد.

پهن شدگی گذار مقاومت با عبور جریان و اعمال میدان مغناطیسی خارجی، از دیگر خصوصیات مغناطیسی مهم این ترکیبات است که به طور وسیعی مورد مطالعه قرار گرفته است. اگرچه این پهن شدگی در نمونه‌های تک بلور [۲۸] و لایه‌های نازک جهت دار [۲۹] در میدانهای بالا اتفاق می‌افتد، در

2. thermally activated flux creep

3. flux line melting

4. flux cutting

5. curved flux line

6. flux entanglement

7. thermally activated phase slip

1. dissipative

مکان نمونه (T') به صورت  $T=1/116T'-81$  رابطه دارد. این روش ساخت، مشابه با روش به کار گرفته شده در مرجع [۳۷] است.

جهت تعیین کیفیت نمونه‌های ساخته شده، آزمایش‌های رویش میکروسکوپ الکترونی<sup>۱</sup> و پراش پرتو ایکس<sup>۲</sup> انجام شده است. طیف پراش پرتو ایکس با تابش  $K_{\alpha}$  از  $Co$ ، با طول موج  $1/790^{\circ} \text{ آنگستروم}$  در محدوده  $2\theta=80^{\circ}$  تا  $10^{\circ}$  گرفته شد.

اندازه‌گیری مقاومت ویژه نمونه‌ها با روش ۴ میله‌ای انجام شده است. نمونه را پس از چسباندن با چسب نقره در جای مخصوص اندازه‌گیری در داخل محفظه خنک شونده یخچال قرار می‌دهیم. برای کاهش دمای این محفظه، از یک یخچال مدار بسته گاز هلیوم استفاده شده است. این یخچال قادر است دمای محفظه نمونه را تا  $10K$  کاهش دهد. نمونه با استفاده از چسب سیلیکان چسبانده می‌شود و اتصالهای آن به منبع جریان و تقویت کننده قفلی متصل می‌شود. برای جلوگیری از هر گونه انتقال گرما از محیط آزمایشگاه به نمونه، محفظه نمونه با استفاده از دو پمپ روتاری و دیفیوژن تا فشار تقریبی  $5 \times 10^{-6} \text{ torr}$  تخلیه می‌شود. کنترل و تعیین دمای نمونه با استفاده از یک کنترل کننده  $-33^{\circ}\text{C}$ ، Lake Shore، با مقاومت  $Pt$  و  $GaAs$  انجام شده است و دقت کنترل کننده  $1K$  تا  $10mA$  می‌باشد. جریان  $10mA$  از یک منبع جریان متناوب  $ac$  با فرکانس  $33Hz$  که در آزمایشگاه طراحی و ساخته شده، گرفته شده است. جریان گرفته شده با دقت  $1/10^{\circ} \text{ میلی آمپر}$  اندازه‌گیری و کنترل می‌شود. ولتاژهای طولی و عرضی به وسیله یک تقویت کننده قفلی و یک مولتیمتر حساس با دقت  $10^{-7}$  ولت اندازه‌گیری شده است. داده‌های اندازه‌گیری شده از طریق یک کارت داده خوان اینترفیس<sup>۳</sup> که در آزمایشگاه طراحی و ساخته شده است، به صورت فایل، ذخیره گردیده و به طور همزمان روی صفحه کامپیوتر ترسیم می‌شود.

به منظور انجام اندازه‌گیریهای مقاومت مغناطیسی و اثر هال، یک میدان مغناطیسی ثابت در جهت عمود بر صفحه عبور جریان اعمال شده است. برای تولید این میدان مغناطیسی از یک

$500$  تا  $840^{\circ}\text{C}$  به منظور جلوگیری از ذوب اجزای مخلوط و ایجاد زمان لازم برای نفوذ پودرهای در یکدیگر، افزایش دما کندتر و به صورت پله‌ای با آهنگ کوچکتر از  $10^{\circ}\text{C}/\text{min}$  داشته شده است. برای اطمینان از کامل بودن مرحله تکلیس، این مرحله دو مرتبه انجام شده و قبل از این مرحله پودرهای خوبی آسیاب شده‌اند.

پس از انجام مراحل تکلیس و سایش مجدد، مخلوط را تحت فشار مکانیکی به شکل قرص درآورده و برای اندازه‌گیریهای الکتریکی آماده می‌گردد. برای قرص کردن پودرهای تحت فشار  $10$  تن، از قالب استوانه‌ای با جنس استیل و با تحمل فشار  $15$  تن، استفاده شده است. فشار  $10$  تن در سه مرحله تقریباً مساوی و کاهش فشار نیز به کندی و با آهنگ ثابت انجام شده است. اندازه قطر و ضخامت قرصها به ترتیب در حدود  $1/3$  سانتیمتر و  $1$  میلیمتر می‌باشد.

برای انجام فرایند حرارتی کلوخه‌سازی، قرصها در کوره استوانه‌ای در دمای  $920^{\circ}\text{C}$  کلوخه سازی می‌شوند. بزرای اطمینان از تشکیل کامل فاز مورد نظر و جلوگیری از تشکیل فازهای ناخالصی و کمبود اکسیژن در ترکیب، این مرحله در اکسیژن و به دور از بخار آب و دی اکسید کربن انجام می‌شود. آهنگ افزایش و کاهش دما در این مرحله حرارتی در کیفیت نمونه‌های ساخته شده بسیار مهم است. تغییرات دمایی استفاده شده در این مرحله از ساخت به صورت زیر بوده است: از دمای اتفاق تا دمای  $500^{\circ}\text{C}$  با آهنگ  $50^{\circ}\text{C}/\text{min}$  از دمای  $500$  تا  $580^{\circ}\text{C}$  با آهنگ  $5^{\circ}\text{C}/\text{min}$ ، از دمای  $580$  تا  $810^{\circ}\text{C}$  با آهنگ  $2^{\circ}\text{C}/\text{min}$  از  $810$  تا  $920^{\circ}\text{C}$  با آهنگ  $3^{\circ}\text{C}/\text{min}$  از  $920$  تا  $920^{\circ}\text{C}$  با آهنگ  $2^{\circ}\text{C}/\text{min}$  که با افزایش هر  $8^{\circ}\text{C}$   $16$  دقیقه در دمای ثابت نگهداشته می‌شود و بالاخره از دمای  $920$  تا  $950^{\circ}\text{C}$  با آهنگ  $1^{\circ}\text{C}/\text{min}$  که با افزایش هر  $2^{\circ}\text{C}$  به مدت  $18$  دقیقه در دمای ثابت نگهداشته می‌شود. در آخر، نمونه‌ها به مدت  $38$  ساعت در دمای ثابت  $950^{\circ}\text{C}$  و در معرض شارش اکسیژن قرار داشتند. برای کاهش دمای کوره از  $950^{\circ}\text{C}$  به  $650^{\circ}\text{C}$  با آهنگ  $10^{\circ}\text{C}/\text{min}$  و به مدت  $1/5$  ساعت در دمای ثابت  $10^{\circ}\text{C}/\text{min}$  از  $650$  تا  $550^{\circ}\text{C}$  با آهنگ  $1^{\circ}\text{C}/\text{min}$  و به مدت  $1$  ساعت در دمای ثابت  $550^{\circ}\text{C}$  و از دمای  $550$  تا  $100^{\circ}\text{C}$  با آهنگ  $10^{\circ}\text{C}/\text{min}$  انجام شد. دمای ذکر شده دمای تنظیم کنترل کننده دمای کوره (T) می‌باشد که با دمای واقعی

## 1. scanning electron microscopy (SEM)

## 2. X-ray diffraction (XRD)

## 3. interface

بالا، بر روی نمونه‌های لایه نازک و میدانهای خیلی بالا (در حدود چند تسلای انجام شده است [۳۹]). مقاومت مغناطیسی نمونه‌ها با اندازه‌گیری ولتاژ طولی در میدانهای مغناطیسی ثابت  $1, 2, 5$  و  $10$  کیلو اورستد و اندازه‌گیری اثر هال در میدان  $1$  تسلای در دو جهت معکوس انجام شده است.

برای به دست آوردن ضربی ب هال نمونه‌ها ( $R_H$ )، ولتاژ عرضی آنها در میدان مغناطیسی ثابت  $1$  تسلای در جهت عمود بر صفحه عبور جریان و با تغییر دما اندازه‌گیری شده است. ولتاژ عرضی اندازه‌گیری شده شامل قسمت ولتاژ هال، ولتاژ آفست<sup>۱</sup> و نوفه‌های خارجی می‌باشد. ولتاژ آفست، یک ولتاژ طولی است که از رویروی هم نبودن اتصالهای عرضی به وجود می‌آید.

ولتاژ نوفه‌ها نیز ناشی از نوفه‌های گرمایی، منبع جریان و محیط می‌باشد. برای به دست آوردن ولتاژ هال، لازم است که اثرات ولتاژ آفست و نوفه‌ها را از مقدار اندازه‌گیری شده حذف کرد.

با اندازه‌گیری ولتاژ عرضی در دو میدان مساوی و در جهت معکوس می‌توان ولتاژ آفست را حذف کرده و ولتاژ هال (با وجود نوفه‌ها) را از رابطه  $(V_{(B)} - V_{(-B)}) = V_H$  به دست آورد [۳۸]. برای حذف نوفه‌ها، منحنی ولتاژ عرضی را در دو ناحیه دمایی بالا و پایین  $K_{100}$  با چند جمله‌ایهای مناسب، برآش داده و نتایج این برآش در میدانهای معکوس، از یکدیگر کم شده است. با این روش مقداری از نوفه‌ها حذف می‌شوند، اگرچه در نتایج نهایی هنوز مقداری نوفه دیده می‌شود، می‌توان در تفسیر نتایج از این نوفه‌ها چشم پوشی کرد و با توجه به اهمیت رفتار دمایی آنها، شکل کلی را در نظر گرفت.

ضریب هال  $R_H$  پس از حذف ولتاژ آفست و نوفه‌ها از رابطه  $R_H = V_H c / I B$  محاسبه می‌شود. در این رابطه،  $c$  ضخامت نمونه بر حسب متر،  $I$  جریان گذرنده از نمونه بر حسب آمپر و  $B$  میدان اعمالی بر حسب تسلای  $R_H$  بر حسب واحد مترمکعب بر کولن ( $m^3/C$ ) به دست می‌آید. رابطه بالا نشان می‌دهد که برای تسهیل در اندازه‌گیری بهینه ولتاژ هال (وجود نوفه‌های کوچک در ولتاژ خروجی)، لازم است  $c$  تا حد ممکن کوچک و میدان مغناطیسی اعمالی و جریان تا حد امکان بزرگ انتخاب شوند. با توجه به شرایط آزمایشگاهی و امکانات موجود، مقادیر  $B=1T$ ،  $I=10mA$  و  $c=1cm$  انتخاب شده‌اند. اغلب بررسیهای اثر هال انجام شده در ترکیبات ابررسانای دمای



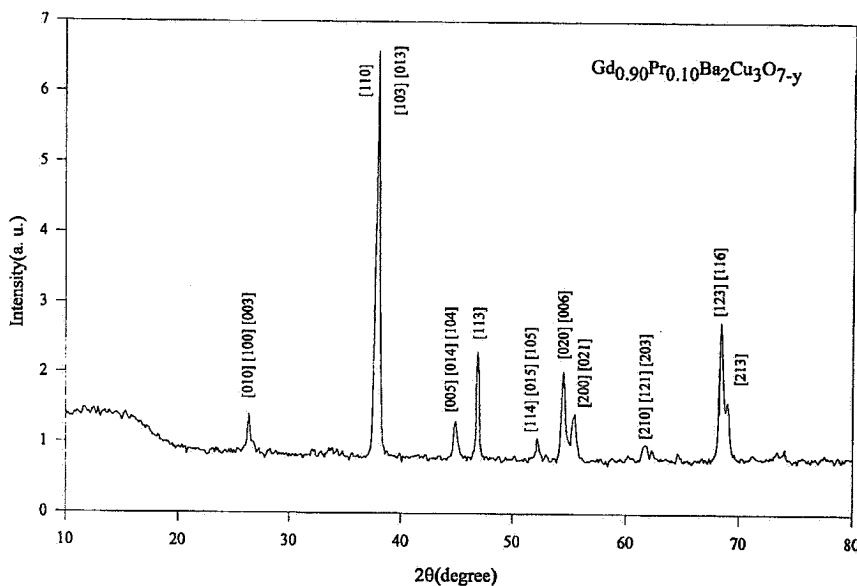
(الف)



(ب)

شکل ۱. نتایج آزمایش SEM نمونه ۱۲۳- $Gd_{0.10}Pr_{0.80}$  با بزرگنمایی  $\times 400$  و  $\times 800$ .

#### 1. offset

شکل ۲. طیف پرتو ایکس نمونه ۱۲۳-Gd<sub>0.90</sub>Pr<sub>0.10</sub>

جدول ۱. مقادیر پارامترهای شبکه و حجم سلول واحد نمونه‌های Gd<sub>1-x</sub>Pr<sub>x</sub>-123 با استفاده از آنالیز ریتولد.

$V(\text{A}^{\circ})$	$c(\text{A}^{\circ})$	$b(\text{A}^{\circ})$	$a(\text{A}^{\circ})$	$x$
۱۷۵/۰۲	۱۱/۶۸	۳/۸۹	۳/۸۴	۰/۰۵
۱۷۵/۰۲	۱۱/۶۹	۳/۹۰	۳/۸۴	۰/۱۰
۱۷۵/۶۲	۱۱/۶۸	۳/۹۰	۳/۸۴	۰/۱۵

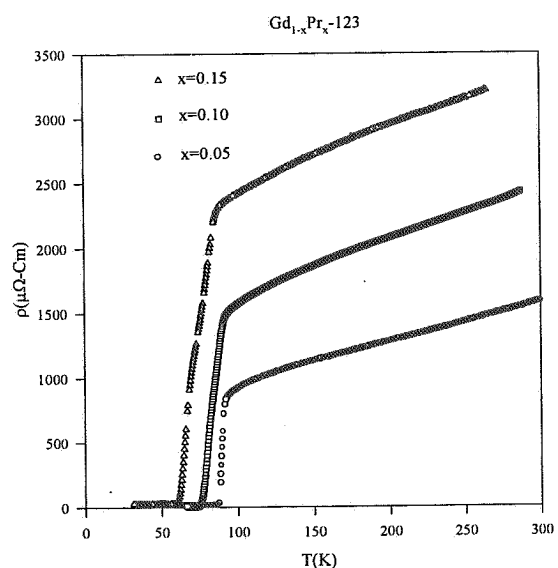
نتایج اندازه‌گیری مقاومت ویژه در شکل ۳ نشان داده شده است. همان طور که از شکل دیده می‌شود هر سه نمونه ۱۲۳-Gd<sub>1-x</sub>Pr<sub>x</sub> (x=۰/۰۵، ۰/۱۰، ۰/۱۵) دارای گذار ابررسانایی می‌باشند. تغییرات مقاومت با دما در حالت بهنجار (بالای دمای گذار) یک رفتار خطی با دما با شبیب مثبت و حالت فلزی را نشان می‌دهد، اما در هنگام گذار، مقاومت به طور سریع از مقادیر بالای ۱۰۰۰ میکرو-امپ-سانتیمتر به مقادیر نزدیک صفر کاهش می‌یابد. مشاهده می‌شود که دمای گذار نمونه‌ها با افزایش مقدار ناخالصی Pr در ترکیب، کاهش و مقاومت حالت بهنجار آن افزایش می‌یابد که در همخوانی با کارهای انجام شده است [۴۰]. گزارش‌های ارائه شده نشان می‌دهد که افزایش Pr از مقدار ۰/۱۵ نیز دمای گذار را کاهش داده و در مقدار آلایش بحرانی  $x=0/45$  در ترکیب GdPr-123 به نارسانای الکترونیکی تبدیل می‌شود [۵]. این گذار عایق-ابرسانا که برای فهمیدن سازوکار ابررسانایی دمای بالا در این ترکیبات نقش مهمی را

برای تعیین ساختار فاز تشکیل شده، اطلاع از وجود فازهای ناخالصی و خواص ساختاری مانند اندازه پارامترهای شبکه‌ای، آزمایش‌های پرتو ایکس نمونه‌ها انجام شد. برای نمونه ۱۲۳-Gd<sub>0.90</sub>Pr<sub>0.10</sub> در شکل ۲ نشان داده شده است. با توجه به اندیشهای میلر (hkl) مربوط به قله‌ها، مشاهده می‌شود که فاز ۱۲۳ تشکیل شده و فاز غالب است. قله اصلی این فاز در این طول موج در نزدیکی زاویه  $2\theta=38^{\circ}$  دیده می‌شود. بررسی این طیف توسط روش ریتولد نشان می‌دهد که فاز غالب نمونه، فاز ۱۲۳ با ساختار ارتورمیک است و فازهای ناخالصی در این نمونه‌ها دیده نمی‌شود (قله‌های مربوط به فازهای ناخالصی در حد زمینه طیف است). پارامترهای  $a$ ,  $b$  و  $c$  و حجم سلول واحد نمونه‌ها در جدول ۱ نشان داده شده است. از این جدول دیده می‌شود که حجم سلول با افزایش Pr افزایش می‌یابد که با توجه به بزرگتر بودن شعاع یونی  $R(\text{Pr}^{3+})=1013 \text{ \AA}$  در مقایسه با شعاع یونی  $R(\text{Gd}^{3+})=938 \text{ \AA}$  دور از انتظار نیست. مقاومت ویژه نمونه‌های ساخته شده با اندازه‌گیری ولتاژ طولی آنها و استفاده از رابطه  $\rho(T)=V_I(T)bc/II$  به صورت تابعی از دما در محدوده دمای اتاق تا ۵۰ K تعیین شده است. در این رابطه  $a$ ,  $b$  و  $c$  به ترتیب ابعاد طول، عرض و ضخامت و I جریان گذرنده از نمونه است.

می‌یابد.  $T_c$  بالاترین دمای با مقاومت کمینه و  $\Delta T_c = T_c^{9\%} - T_c^{0\%}$  گذار ابررسانایی تعريف می‌شود. مقدار مقاومت در حالت بهنجار به صورت خطی با دما کاهش می‌یابد که نشان دهنده یک رفتار فلزی در این ترکیبات است. ضرایب A و B از برازش مقاومت ویژه در حالت بهنجار با معادله خطی  $\rho(T) = AT + B$  تعیین و در جدول ۲ آورده شده است. این جدول، کاهش  $T_c$  با افزایش  $x$  را نشان می‌دهد، اگرچه تغییرات  $T_c^{\text{onset}}$  نسبت به دیگر مقادیر  $T_c$  کوچکتر است. مقدار B بروزیابی رفتار خطی مقاومت ویژه در دمای صفر را نشان می‌دهد. افزایش مقدار B با  $x$  نشان دهنده افزایش پراکندگی الکترونها رسانش با مقدار آلایش است.

نتایج اندازه‌گیری ضریب هال نمونه‌های چندبلوری ۱۲۳ GdPr در شکل ۴ نشان داده شده است. نتایج اثر هال نشان می‌دهد که ضریب هال  $R_H$  بر خلاف دیگر خواص تراپردا (با ناهمسانگردی بالا در این ترکیبات) در نمونه‌های تک بلور با کیفیت بالا و چند بلور حدود ۱۰٪ اختلاف دارد. مقدار مثبت  $R_H$  نشان از وجود حاملهای جریان از نوع حفره دارد که در ترکیبات دیگر این دسته از مواد نیز دیده شده است [۱۰]. اندازه  $R_H$  حدود یک مرتبه بزرگی از مقدار آن در ترکیبات دیگر این خانواده بزرگتر است، اما در محدوده بعضی اندازه گیریها در ترکیبات ابررساناهای دمای بالا می‌باشد [۴۶].

رفتار ناهنجار دمایی ضریب هال در حالت بهنجار در تنافض آشکار با رفتار  $R_H$  در فلزات ساده با سطح فرمی پیچیده مانند Cu, Ag, Ca, Mg و W است. وابستگی دمایی  $R_H$  این فلزات در دماهای پایین مهم، اما در بالای دمای ویژه  $T_H = s\theta_D^{0.4/2-0.8}$  و  $\theta_D$  دمای دبای می‌باشد) خیلی ضعیف می‌شود. از شکل ۴، وابستگی دمایی  $R_H$  در حالت هنجار نمونه ۱۲۳ Gd<sub>1-x</sub>Pr<sub>x</sub>-123 وابستگی ضعیفتر آن در نمونه‌های دیگر مشاهده می‌شود که با افزایش دما کاهش می‌یابد. این رفتار که در بیشتر ترکیبات ابررساناهای دمای بالا دیده شده است، به صورت  $1/T$  است [۱۰]. رفتار ناهنجار  $1/T$  باعث تلاش وسیعی برای ارائه نظریه‌ای به منظور توجیه این رفتار شده است. در نظریه پیشنهادی آندرسن، از تمایز آهنگهای واہلشی ذرات متحرک در جهت موازی و عمود بر سطح فرمی استفاده شده است. کامیورا [۴۷]، سطح فرمی پیچیده ترکیب La<sub>2-x</sub>Sr<sub>x</sub>CuO<sub>4</sub> را سبب ناهنجاری دمایی و غلظت ناخالصی



شکل ۳. مقاومت ویژه نمونه‌های Gd<sub>1-x</sub>Pr<sub>x</sub>-123 بر حسب دما.

دارا می‌باشد مورد توجه بسیاری قرار گرفته است [۴۱]. از سازوکارهای ارائه شده برای حل آن، پر شدن حفره‌های صفحه Pr با الکترونها اضافی Pr براساس بزرگتر بودن ظرفیت CuO<sub>2</sub>p<sup>3+</sup> و یا جایگزینه شدن آنها با هیبریداسیون قوی Pr<sup>4+</sup> با O<sup>2-</sup> است که منجر به کاهش  $T_c$  و از بین رفتارهای گشتاورهای موضعی می‌باشد که با مشاهده پیروی رفتار بر حسب X در سیستم Y-123، از مدل شکست جفت ابریکاسوف-گورکف ارائه شده است [۴۲-۶]. اگرچه آزمایشات دقیقتر این مدل را تایید نمی‌کند [۴۳]. هر چند تلاشهای دیگری مانند استفاده از مدل پرکلاسیون [۴۴] یا نتایج مدل اسپین-پلارن [۷] ترکیبی با مفهوم پر شدن حفره‌ها انجام شده است، تاکنون دلیل واضحی برای اضمحلال ابررسانش در این ترکیبات وجود ندارد. ارائه گزارش ساخت ۱۲۳ Pr-Gd<sub>1-x</sub>Pr<sub>x</sub>-123 ابررسانا در سالهای اخیر [۴۵]، پیچیدگی مسئله را افزایش داده و آن را به یک مسئله تحقیقاتی مهم در این زمینه تبدیل کرده است.

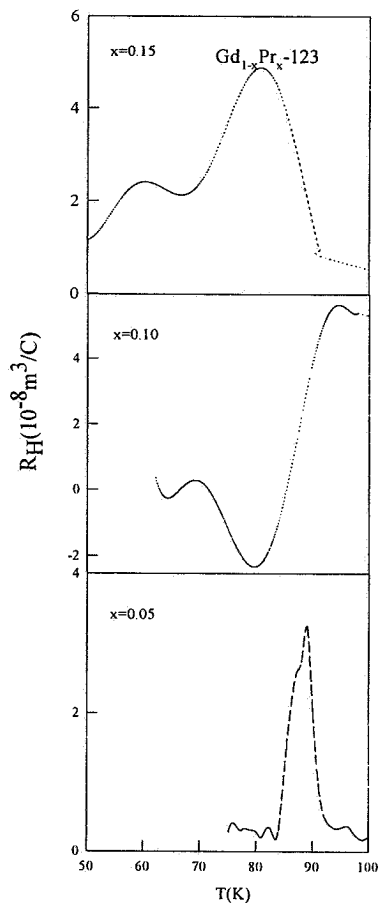
از شکل ۳ همچنین دیده می‌شود که پهنهای گذار ابررسانایی ( $\Delta T_c$ ) نیز با افزایش ناخالصی Pr در ترکیب افزایش می‌یابد. جدول ۲ مقادیر  $T_c^{\text{onset}}$ ,  $T_c^{9\%}$ ,  $T_c^{0\%}$ ,  $T_c^{\text{onset}}(\rho=0)$ ,  $T_c^{\text{onset}}(T_c^{\text{onset}})$  و  $\Delta T_c$  را نشان می‌دهد.  $T_c^{\text{onset}}$  دمای آغاز گذار ابررسانایی،  $T_c^{9\%}$  و  $T_c^{0\%}$  دماهایی است که در آن مقدار مقاومت به اندازه ۹۰٪ (۱۰٪) و نصف مقدار مقاومت در  $T_c^{\text{onset}}$  کاهش

جدول ۲. مقادیر  $\Delta T_c$ ,  $T_c$  و ضرایب A و B در ترکیب  $Gd_{1-x}Pr_x-123$ 

B	A	$\Delta T_c$	$T_c^\circ$	$T_c^{\circ\circ}$	$T_c$	$T_c^{\circ\circ\circ}$	$T_c^{onset}$	x
۶۳۰/۲۶	۳/۱۷	۳/۴	۸۷/۲	۸۸/۳	۹۰/۱	۹۱/۷	۹۳/۱	۰/۰۵
۱۱۱۹/۴	۴/۳۱	۱۱/۷	۷۴/۳	۷۷/۸	۸۲/۷	۸۹/۵	۹۲/۱	۰/۱۰
۱۹۸۶/۴۲	۴/۸۲	۱۹/۹	۵۹/۶	۶۳/۴	۷۱/۳	۸۳/۳	۸۸/۱	۰/۱۵

۱/  $\tau(k)$  مستقل از T باشد،  $R_H$  مستقل از دما خواهد بود. اگر میانگین زمان واهلش  $(\tau(k))$  روی سطح فرمی  $\sigma_{Hr}$ ، به صورت خطی با  $1/T$  تغییر کند (همان طوری که در منحنی حالت هنجر  $\rho$  مشاهده شد)، روابط  $1/T \sim \tan \theta_H \sim 1/T^2$  و  $\sigma_H \sim 1/T^3$  مورد انتظار می‌باشد. این پیشگوییها با رفتار مشاهده شده در ابرسانهای دمای بالا در تناقض است. وابستگی قوی دمایی  $R_H$  در فلزات معمولی، اغلب به خاطر تغییر وابستگی دمایی  $\tau(k)$  با دما می‌باشد [۴۸]. با کاهش دما، پراکندگی فونون به سوی مناطقی از سطح فرمی با قطر  $\tau$  کوچکتر حرکت کرده و بنابراین سهمشان را در جریان هال از دست می‌دهند.  $R_H$  در بعضی از فلزات غیرمغناطیسی مانند Cu, Cd, Ag, W, Mg و با سطح فرمی پیچیده، با همسانگرد شدن  $(\tau(k))$  در  $T > T_H (\equiv s\theta_D)$  به صورت یک ثابت رفتار می‌کند. بنابراین پراکندگی الکترون-فونون نمی‌تواند به عنوان یک مشخصه برای توجیه رفتار  $R_H$  بر حسب دما باشد. چین و همکارانش [۱۱] رفتار مشاهده شده در ابرسانهای دمای بالا را در اختلاف بزرگی با وابستگی دمایی  $R_H$  به خاطر ناهمسانگردی آهنگ پراکندگی الکترون-فونون نتیجه‌گیری کرده‌اند.

در توصیفی دیگر با استفاده از مدل دونسواری، اگر مسافت آزاد میانگین جریان هال الکترونها و حفره‌ها دارای دارای وابستگی دمایی مختلفی باشد، یک وابستگی قوی دمایی برای  $R_H$  ممکن می‌شود. توجیه رفتار  $1/T^3$  برای  $\sigma_H$  با حذف جملات از مرتبه  $1/T^2$  در بسط  $\sigma_{Hi} = A_i/T^3 + Bi/T^2 + ...$  و  $\sigma_{H1} = A_1/T^3 + B_1/T^2 + ...$  با فرض  $A_i \approx A_1$ ، که در اینجا  $\sigma_{H1}$  و  $\sigma_{H2}$  به ترتیب جریان هال حفره‌ها و الکترونها می‌باشد، ممکن می‌شود. به نظر می‌رسد که حذف این جملات در  $Y-123$  غیر موجه [۱۱] و به علاوه، در تناقض با اندازه‌گیری اثر هال نمونه‌های Y-123 آلیده شده با Co یا کمود اکسیژن [۱۳] و یا با اندازه‌گیری  $R_H$

شکل ۴. ضریب هال ( $R_H$ ) نمونه‌های  $Gd_{1-x}Pr_x-123$  بر حسب دما.

معرفی کرده است. شکل زیگ زاگ سطح فرمی تقریباً دو بعدی آنها نشان از وجود دو نوع سهم حفره-گونه و الکترون-گونه<sup>۱</sup> در اثر هال دارد. تحلیل رفتار  $1/T^3$  برای  $\sigma_H$  (با توجه به رفتار خطی دمایی مقاومت ویژه  $\rho$  در حالت بهنجار و  $\sigma_H = \tan \Theta_H / \rho = D/T^3$  و  $\tan \theta_H = (R_H B / \rho) = D/T^2$ ) با نظریه ترابردی معمولی ممکن نمی‌باشد [۱۱]. به طور مثال در مدل تک نواری درودی، اگر ناهمسانگردی آهنگ پراکندگی

2. caliper

1. hole &amp; electron -like

نzedیکی  $T_c$ ، استفاده از نگرشی بر پایه معادله وابسته به زمان گینزبرگ-لاندau است [۲۴]. بررسی حرکت گردابه‌ها در حالت بزرگتر بودن نیروی لورنتس از نیروی میخکوبی [۵۱]، نشان می‌دهد که اگر مؤلفه میدان حفره‌های تجمیعی در کناره‌های نمونه (ناشی از میدان القایی توسط حرکت گردابه‌ها) از میدان هال بزرگتر شود، این امر سبب منفی شدن و تغییر علامت ضربی هال خواهد شد. پیشنهادهای دیگر، وجود دو نوع حامل بار [۲۵]، نیروی وشکسانی [۵۲] و برگشت جریان ناشی از میخکوبی [۲۶] می‌باشد. مشاهده تغییر علامت هال نسبت به میدان نیز در نمونه‌های Y-۱۲۳ GdPr-۱۲۳ [۵۳] و Bi<sub>2</sub>Sr<sub>2</sub>CaCu<sub>2</sub>O<sub>y</sub> [۵۴]، سبب ارائه مدل‌های حرکت غیرعادی گردابه تحت تاثیر نیروی مگنوسی [۵۵] یا سهم افت و خیزهای ابررسانایی در اثر پراکندگی مورب مغناطیسی<sup>۱</sup> [۵۶] شده است. با وجود ارائه این مدل‌ها، تاکنون نظریه یکتاپی برای توجیه این اثر در ابررساناهای دمای بالا ارائه نشده است.

چگالی حامل‌های هال ( $n_H$ ) از رابطه  $n_H = IB/V_Hce = I/R_He$  محاسبه می‌شود که در آن  $e$  مقدار بار الکترون است. از اینجا مشاهده شده است که  $n_H$  وابستگی شدیدی به دما دارد. یک کاهش تقریباً خطی با دما و افزایش تاگهانی در نزدیکی دمای گذار ابررسانایی با مقدار چگالی حامل‌های هال در حدود  $10^{-10}$  تا  $10^{-11}$  بر سانتیمتر مکعب به دست می‌آید که یک تا دو مرتبه بزرگی از مقدار آن در فلزات معمولی کوچکتر است. البته باید توجه داشت که به خاطر ناهنجاری دمایی  $R_H$ ، ما مجاز به تفسیر ساده  $n_H$  به صورت مقدار غلظت حاملها نیستیم. این نتایج قابل مقایسه با نتایجی است که در ترکیهای دیگر، اندازه گیری شده است [۱۰]. این نتایج نشان می‌دهد که شبیه تغییرات  $n_H$  به دما،  $dn_H/dT$  در نمونه Y-۱۲۳ Gd<sub>۰.۸۵</sub>Pr<sub>۰.۱۵</sub> نسبت به نمونه Y-۱۲۳ Gd<sub>۰.۹۰</sub>Pr<sub>۰.۰۵</sub> کاهش می‌یابد که همبستگی بین کاهش  $dn_H/dT$  و  $T_c$  را نشان می‌دهد. البته  $dn_H/dT$  در نمونه Y-۱۲۳ Gd<sub>۰.۹</sub>Pr<sub>۰.۱</sub> به دلیل ناهنجاری و تغییرات قوی دمایی  $R_H$  کوچک می‌باشد.

نتایج اندازه گیری مقاومت مغناطیسی به طور نمونه برای Gd<sub>۰.۹</sub>Pr<sub>۰.۰۵</sub>-۱۲۳ در میدانهای مختلف و برحسب دما در شکل ۵ نشان داده شده است. گذار ابررسانایی در هر سه

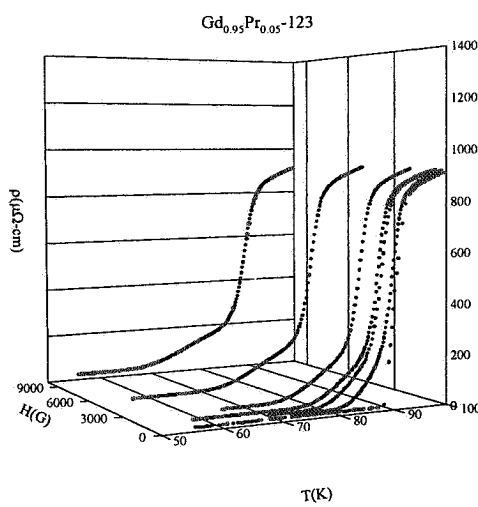
در فشارهای بالا [۴۹] است. اگرچه توجیه این ناهنجاری با وجود این دشواریها و حساسیت وابستگی غیرعادی  $dn_H/dT$  به آلیش Ni و Co، در نظریه معمولی بلوخ-بولتزمن رد می‌شود، وابستگی دمایی  $R_H$  و  $\sigma_B$  رمذل هابارد با مقدار U با در نظر گرفتن مقاومت الکتریکی به صورت مجموع  $\sigma_F + \sigma_B$  که  $\sigma_F$  (رسانندگی برانگیختگیهای بوزون (فرمیون) می‌باشد [۵۰] تحلیل شده است.

در حالت ابررسانایی ترکیب Gd<sub>۰.۹</sub>Pr<sub>۰.۱</sub>-۱۲۳، برخلاف دو نمونه دیگر، مشاهده می‌شود که ضربی هال پس از گذشتن از یک بیشینه تیز، کاهش یافته و تغییر علامت می‌دهد. مشاهده این اثر در انواع مختلف ابررساناهای دمای بالا، دمای پایین، با انژری میخکوبی بالا، با انژری میخکوبی پایین، همسانگرد و انهمسانگرد و از نوع حفره و الکترون، نشان از شهود بالایی برای حل آن با استفاده از تصویر دینامیک گردابه‌ها دارد. در بیشتر ابررساناهای تغییر علامت ضربی هال به صورت یک خاصیت ذاتی دینامیک گردابه‌ها معروفی شده است [۲۰]. حرکت گردابه‌ها در حالت مخلوط، یک میدان الکتریکی با رابطه جوزفسون به صورت  $E = -V_L \times B$  را تولید می‌کند، که در آن  $V_L$  سرعت گردابه‌ها است. علامت ولتاژ هال به چگونگی حرکت گردابه‌ها در جهت یا در خلاف جهت شارش جریان بستگی دارد. در مورد ترکیبات حفره‌ای، حرکت گردابه‌ها در خلاف جهت سرعت ابر جریان  $V_L$  سبب می‌شود که  $R_H < 0$  شود و برای موارد الکترونی  $R_H > 0$  شود. بنابراین تغییر علامت هال، وجود نیروی وارد بر گردابه‌ها در خلاف جهت  $V_L$  را پیشنهاد می‌کند.

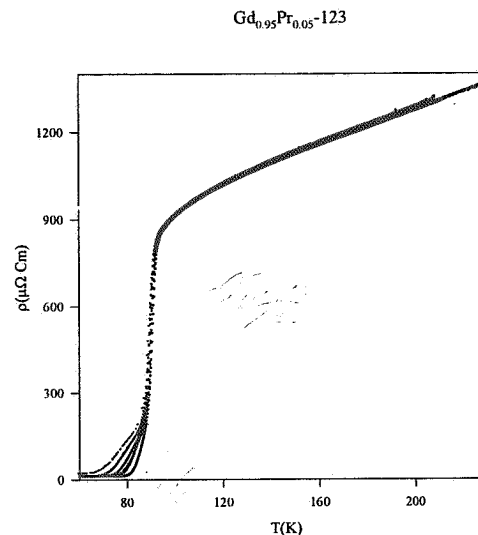
تغییر علامت ضربی هال در نظریه‌های کلاسیکی بار دین-استفن (BS) [۲۱] و نوزیرس-وین (NV) [۲۲] با وجود نیروی وشکسانی<sup>۲</sup> وارد بر گردابه‌ها، پیش‌بینی نمی‌شود. محاسبات دیگر نشان می‌دهد که اگرچه نیروی وارد شده به گردابه‌ها، ناشی از پراکندگی شبیه ذرات، در جهت خلاف  $V_L$  است، مقدار آن برای تغییر علامت ضربی هال کافی نیست [۴۸]. مدل ترمولالکتریکی ارائه شده در ترکیب Y-۱۲۳ [۲۳] نیز در مورد ترکیب الکترونی  $Nd_{1-x}Ce_xCuO_4$  ناقص است. نگرشی دیگر برای فهمیدن وجود تغییر علامت در رسانایی هال  $\sigma_{xy}$  در

## 2. magnetic skew scattering

## 1. dissipative drag



شکل ۶. رفتار پهن شدگی مقاومت مغناطیسی ترکیب ۱۲۳-  
Gd<sub>0.95</sub>Pr<sub>0.05</sub> در نزدیکی دمای گذار.



شکل ۵. مقاومت مغناطیسی ترکیب ۱۲۳-  
Gd<sub>0.95</sub>Pr<sub>0.05</sub> بر حسب دما.

تمامی میدانها نشان می‌دهد که در حالت  $H=0$  نشان داده شده بود.

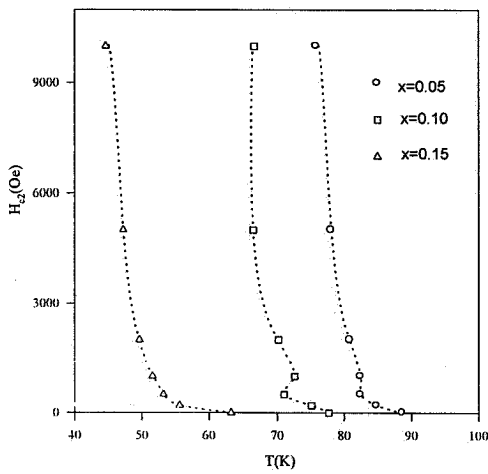
برای تعیین رفتار  $\Delta T_c$  با میدان،  $\ln \Delta T_c = \ln H_c - \ln \Delta T_c$  بر حسب رسم شده است (شکل ۷). این رفتار خطی، نشان می‌دهد که  $\Delta T_c$  رابطه توانی  $\Delta T_c = AH^n$  را دارد، که مقادیر  $n$  برای سه نمونه سه بعدی دمایی  $50^\circ\text{K}$  تا  $100^\circ\text{K}$  به ترتیب  $0.08, 0.11, 0.15$  است که با افزایش  $H$  کاهش می‌یابد.

برای تعیین مقدار و رفتار  $(T_c, H_c)$ ، مقدار  $H_c$  بر حسب دما و آلایش در شکل ۸ نشان داده شده است، در کارهای انجام شده از معیارهای مختلفی مانند مقادیر  $0.50\%$  و  $10\%$  مقاومت حالت هنچار برای تعیین  $(T_c, H_c)$  استفاده شده است [۳۹، ۵۱ و ۵۷]. با توجه به کوچک بودن میدانهای اعمال شده در مقایسه با  $H_c$ ، به نظر می‌رسد که معیار  $10\%$  مقاومت حالت هنچار برای تعیین  $(T_c, H_c)$  مناسب باشد. رفتار  $H_c$  در نزدیکیهای  $T_c$  به کندی با دما تغییر می‌کند، در حالی که در دماهای پاییتر، به سرعت افزایش می‌یابد. برآذش توانی  $H_c$  بر حسب  $(1-T/T_c(H))^{q}$  به صورت  $H_c = A(1-T/T_c(H))^{q}$  نشان می‌دهد که مقدار  $A$  نزدیک به صفر و مقادیر  $q$  برای آلایش‌های  $0.15, 0.10, 0.05, 0.02, 0.01, 0.002, 0.004, 0.006, 0.008, 0.011, 0.015$  به ترتیب با آلایش افزایش می‌یابد. این رفتار توافقی، رفتار  $(T_c, H_c)$  در میدانهای کوچک را نشان می‌دهد که به طور سریع با دما تغییر می‌کند. آزمایشها نشان می‌دهد که  $(T_c, H_c)$  با

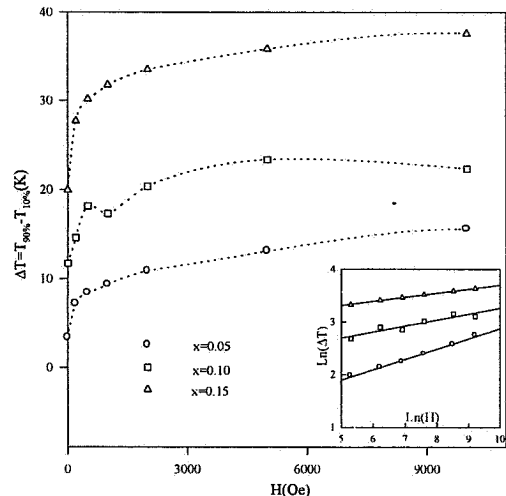
نمونه و برای تمامی میدانهای اعمال شده مشاهده شده است. اگرچه تغییرات مقاومت ویژه حالت بهنچار آنها، با افزایش میدان مغناطیسی کوچک است، در حالت گردابی تغییرات قابل ملاحظه‌ای در مقاومت دیده می‌شود. به منظور روشنتر شدن این موضوع و بررسی این تغییرات، مقاومت مغناطیسی این ترکیب در محدوده دمایی  $50^\circ\text{K}$  تا  $100^\circ\text{K}$  بر حسب دما و میدان در شکل ۶ نمایش داده شده است. از اینجا مشاهده می‌شود که با افزایش میدان، مقاومت حالت مخلوط از صفر به مقادیر قابل ملاحظه‌ای افزایش می‌یابد. همچنین، پنهانی گذار ابررسانایی ( $\Delta T_c$ ) به طور مرتباً افزایش میدان افزایش یافته و نمونه در دماهایی پاییتر از  $(H=0)$  درای مقاومت صفر می‌شود. در حالیکه،  $T_c^{\text{onset}}$  آنها تقریباً یکسان است. بررسی این شکلها نتیجه می‌دهد که  $T_c$  و  $T_c^{\text{onset}}$  در نمونه‌ها با افزایش میدان، تقریباً ثابت است در حالی که  $T_c$  و  $T_c^{\text{onset}}$  آنها به طور سریع با افزایش میدان کاهش می‌یابند. در جدول ۳ مقادیر  $T_c^{\text{onset}}$ ،  $T_c$  و  $T_c^{\text{onset}}$  برای نمونه‌های مختلف و میدانهای مختلف نشان داده شده است. همچنین، مشاهده می‌شود که به طور صعودی با افزایش میدان افزایش می‌یابد. تغییرات  $\Delta T_c$  بر حسب میدان مغناطیسی در شکل ۷ نشان داده شده است. دیده می‌شود که  $\Delta T_c$  در میدانهای کوچک به طور سریع تغییر کرده است. ولی در میدانهای بالای ۲ کیلو اورستد تغییرات کمی دارد. مقادیر  $\Delta T_c$  یک افزایش را بر حسب مقدار ناخالصی Pr برای

جدول ۳. مقادیر  $T_c^{onset}$ ،  $T_c^{\%1}$  و  $T_c^{\%0}$  نمونه‌های  $Gd_{1-x}Pr_x-123$  با اعمال میدان مغناطیسی

x=0/10			x=0/10			x=0/0			H(kOe)
$T_c^{\%1}$	$T_c^{\%0}$	$T_c^{onset}$	$T_c^{\%1}$	$T_c^{\%0}$	$T_c^{onset}$	$T_c^{\%1}$	$T_c^{\%0}$	$T_c^{onset}$	
۶۳/۲	۸۳/۲	۸۷/۰	۷۷/۷	۸۹/۴	۹۲/۱	۸۸/۷	۹۲/۱	۹۳/۵	۰
۵۵/۶	۸۳/۳	۸۷/۳	۷۵/۱	۸۹/۷	۹۲/۳	۸۴/۹	۹۲/۰	۹۳/۶	۰/۲
۵۳/۲	۸۳/۴	۸۷/۴	۷۱/۰	۸۹/۲	۹۱/۷	۸۲/۵	۹۰/۹	۹۲/۷	۰/۰
۵۱/۶	۸۳/۳	۸۷/۶	۷۲/۶	۸۹/۹	۹۲/۰	۸۲/۰	۹۱/۹	۹۳/۶	۱
۴۹/۷	۸۳/۲	۸۷/۱۰	۷۰/۲	۹۰/۰	۹۳/۹	۸۰/۸	۹۱/۷	۹۳/۵	۲
۴۷/۲	۸۳/۱	۸۸/۱	۶۶/۵	۸۹/۸	۹۲/۳	۷۸/۱	۹۱/۲	۹۲/۸	۰
۴۴/۷	۸۲/۲	۸۶/۸	۶۶/۶	۸۸/۹	۹۲/۴	۷۰/۹	۹۱/۴	۹۳/۳	۱۰



شکل ۸. میدان مغناطیسی بحرانی  $H_{c2}$  نمونه‌های  $Gd_{1-x}Pr_x-123$  با اعمال میدان مغناطیسی بحسب تابعی از دما.

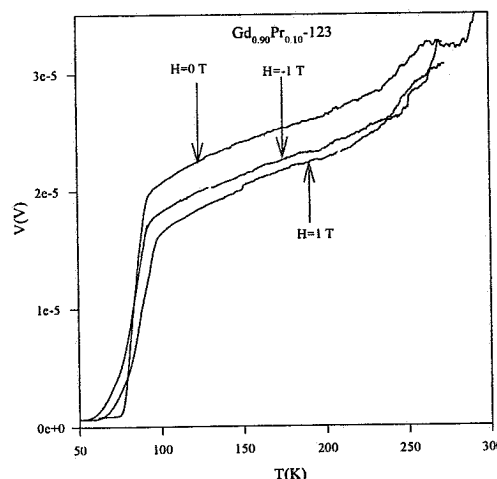


شکل ۷. پهنای گذار نمونه  $Gd_{1-x}Pr_x-123$  بر حسب میدان مغناطیسی.

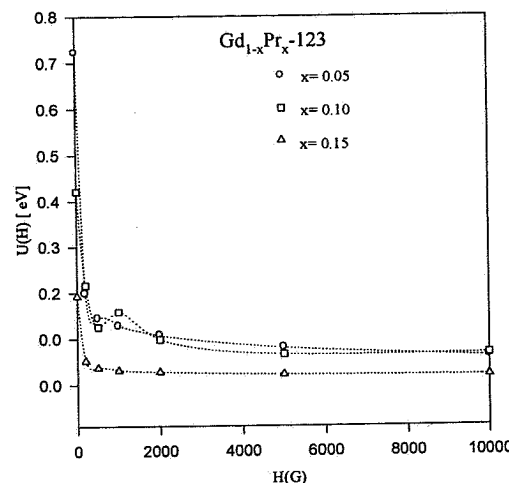
به جریان و میدان بسیار حساس است. از شکل تغییرات مقاومت ویژه در این ناحیه بر حسب میدان و دما و برآذش آنها با رابطه  $\rho(T) = \rho_0 \exp(-U/k_B T)$  می‌توان وابستگی انرژی میخکوبی U به میدان و ناخالصی را به دست آورد [۲۸]. در اینجا،  $\rho_0$  مقاومت ویژه ابررسانا در حالت بهنجهار است. تتابع این برآذش در شکل ۹ نشان داده شده است. از این نتایج دیده می‌شود که انرژی میخکوبی U با افزایش مقدار Pr در ترکیب کاهش می‌یابد. همچنین، مقدار این انرژی با افزایش میدان، کاهش یافته و به یک مقدار تقریباً ثابت می‌رسد. وابستگی انرژی میخکوبی به میدان، در نمونه‌های مختلف، رفتار توانی  $U \propto H^{-v}$  را نشان می‌دهد. برآذش خطی  $U \propto H$  بر حسب

ثیب ثابت تا میدان مغناطیسی  $T_c = 25$  K افزایش می‌یابد [۵۸]. اگرچه با فرمول  $T_c = [\varphi_0 / (2\pi\mu_0)]^{1/2} - T_c(0)$  می‌توان کمیت‌های مهم مانند طول همبستگی  $\xi(T)$  و  $\eta(T)$  را به دست آورد [۵۹]، به نظر می‌رسد که به دلیل اعمال میدان‌های کوچک در این آزمایش (تغییرات کوچک  $T_c(H)$ ) و نداشتن دقت کافی در تغییر  $T_c(H)$  با میدان، نمی‌توان آنها را با دقت مناسب به دست آورد.

مقاومت در محدوده بین  $T_c^{onset}$  و  $T_c^{\%0}$  از دو قسمت تشکیل شده است: یک قسمت نسبتاً تیز در نزدیکی  $T_c^{onset}$  و یک قسمت پهتر دمی شکل در انتهای ناحیه مخلوط. قسمت دمی شکل به ارتباط ضعیف بین دانه‌ها مربوط می‌شود که نسبت



شکل ۱۰. ولتاژ عرضی نمونه ۱۲۳-Gd<sub>0.90</sub>Pr<sub>0.10</sub>-123 در میدانهای ۰ و ۱±۱۰ تبر حسب دما.



شکل ۹. مقادیر انرژی میخکوبی نمونه‌های ۱۲۳-Gd<sub>1-x</sub>Pr<sub>x</sub>-123 بر حسب میدان مغناطیسی.

نتایج آن با روش ریتولد، نتیجه شده است که فاز غالب در نمونه‌ها، فاز ۱۲۳ و مقدار فاز ناخالصی موجود در آنها بسیار کم است. همچنین مقادیر پارامترهای شبکه و حجم سلول واحد نیز به دست آمده و مشخص گردیده است که با افزایش مقدار Pr، حجم سلول واحد، افزایش می‌یابند. نتایج این آزمایشها نشان از کیفیت بالای نمونه‌های ساخته شده دارد.

اندازه‌گیری مقاومت ویژه نمونه‌ها نشان می‌دهد که سه ترکیب  $Gd_{1-x}Pr_xBa_2Cu_3O_7$  (x=0.05, 0.10 و 0.15)، دارای گذار ابررسانایی می‌باشند. دمای گذار ابررسانایی با افزایش ناخالصی Pr در ترکیب، کاهش یافته و پهنای گذار ابررسانایی و مقاومت حالت بهنجار ( $T_c$ ) با افزایش Pr در ترکیب، افزایش می‌یابند. مقاومت ویژه در حالت بهنجار یک رفتار خطی را نشان می‌دهد که معرف رفتار فلزی این سیستم است.

اندازه‌گیری ضریب هال در نمونه‌ها، یک رفتار ناهنجار دمایی را برای ضریب هال ( $R_H$ )، برخلاف فلزات معمولی نشان می‌دهد. در حالت بهنجار، ضریب هال با کاهش دما افزایش یافته و پس از گذشتن از یک بیشینه در نزدیکی دمای گذار، به شدت افت می‌کند. همچنین یک تغییر علامت هال نسبت به دما در نمونه  $Gd_{0.90}Pr_{0.10}Ba_2Cu_3O_7$  دیده شده است.

با محاسبه چگالی حاملهای بار ( $n_H$ ) از ضریب هال اندازه‌گیری شده، مشاهده می‌شود که چگالی حاملهای بار، یک

نشان می‌دهد که مقدار ۷ برای سه ترکیب  $0.05, 0.10, 0.15$  به ترتیب  $0.027, 0.030, 0.029$  است که تقریباً مستقل از مقدار ناخالصی در نمونه است.

اندازه‌گیری ولتاژ عرضی این نمونه‌ها نیز بر حسب دما در میدانهای مغناطیسی ۰ و  $10 \pm 10$  کیلو اورستد انجام شده است. نتایج این اندازه‌گیری برای نمونه ۱۲۳-Gd<sub>0.90</sub>Pr<sub>0.10</sub>-123 در شکل ۱۰ نشان داده شده است. در این شکل، یک برانگیختگی در نزدیکی دمای  $260\text{ K}$  برای مقاومت حالت بهنجار دیده می‌شود که می‌تواند به گذار فاز مغناطیسی عنصر Gd در ترکیب، مربوط شود. دمای کوری برای Gd برابر  $2927\text{ K}$  است [۶۰]. این برانگیختگی در منحنی مقاومت طولی، به خاطر ولتاژهای بزرگ طولی نسبت به ولتاژ عرضی، دیده نمی‌شود. یک رفتار مشابه برای نمونه ۱۲۳-Gd<sub>0.85</sub>Pr<sub>0.15</sub>-123 در نزدیکی دمای  $220\text{ K}$  مشاهده شده است، ولی در نمونه ۱۲۳-Gd<sub>0.95</sub>Pr<sub>0.05</sub>-123 به دلیل افت و خیزهای بزرگ در منحنی ولتاژ اندازه‌گیری شده، مقاومت ویژه در دمای بالاتر از  $150\text{ K}$  به دست نیامده است.

#### ۴. نتیجه‌گیری

با انجام آزمایش‌های SEM روی نمونه‌های ساخته شده ۱۲۳-Gd<sub>1-x</sub>Pr<sub>x</sub>-123، ساختار دانه‌ای و سوزنی شکل آنها و متخلخل بودن و همگنی نمونه‌ها، نتیجه شده است. اندازه دانه‌ها در حدود  $2-6\text{ }\mu\text{m}$  به دست آمده است. از آزمایش‌های XRD و بررسی

U به میدان مغناطیسی وابسته است و با افزایش میدان، مقدار آن کاهش می یابد. انرژی میخکوبی U با افزایش ناخالصی Pr در نمونه ها کاهش می یابد. با برازش LnU بر حسب LnH نمای v در  $H^{-v}$  برای  $U \propto H^{-v}$  به ترتیب مقادیر  $v=0/05, 0/10, 0/15$  به دست آمده است که تقریباً مستقل از مقدار ناخالصی در نمونه هاست.

### قدرتانی

نویسنده گان مقاله از کمکهای گیتی ذوالقدرخانی و محمد رضا محمدی زاده تشکر می کنند. بخشی از این تحقیق با حمایت دفترهای معاونت پژوهشی و تحصیلات تکمیلی دانشگاه صنعتی شریف صورت گرفته است.

وابستگی قوی به دما دارند. نتیجه شده است که مقدار حاملهای بار در این ترکیبات یک تا دو مرتبه بزرگی از مقدار آنها در فلزات معمولی کوچکتر است.

اندازه گیریهای مقاومت ویژه در میدانهای مغناطیسی  $\Delta H$  تا  $10\text{ kOe}$  نشان می دهد که گذار ابررسانایی در همه میدانها اتفاق می افتد. پهنای گذار در هر سه نمونه با افزایش میدان، افزایش می یابد و یک رفتار توانی ( $\Delta H \propto H^n$ ) را نشان می دهد. مقادیر n به دست آمده اند که یک رفتار نزولی از x را نشان می دهد. منحنی مقاومت ویژه در طی گذار از حالت بهنجار به حالت ابررسانایی از دو قسمت نسبتاً تیز و دمی شکل تشکیل می شود. نتایج برازش قسمت دمی شکل با معادله  $n(T) = n_0 \exp(-U/k_B T)$

### مراجع

15. Y Tokura, J B Torrance, T C Huang, and A I Nazzal, *Phys. Rev. B* **38** (1988) 7156.
16. P W Anderson, *Phys. Rev. Lett.* **67** (1991) 2092.
17. P Coleman, A J Schofield, and M Tsvelik, *Phys. Rev. Lett.* **76** (1996) 1324.
18. G Kotliar, A Sengupta, and C M Varma, *Phys. Rev. B* **53** (1996) 3573.
19. B P Stojkovic and D Pines, *Phys. Rev. Lett.* **76** (1996) 811, C Kendziora, D Mandrus, L Mihaly, and L Forro, *Phys. Rev. B* **46** (1992) 14297 A T Zheleznyak, V M Yakovenko, H D Drew, and I I Mazin, *Phys. Rev. B* **57** (1998) 3089.
20. A W Smith, S J Hagen, M Rajeswari, J L Peng, Z Y Li, R L Greene, S N Mao, X X Xi, S Bhattacharya, Q Li, and C J Lobb, *Physica B* **194-196** (1994) 2257.
21. J Bardeen and M J Stephan, *Phys. Rev. A* **10** (1965) 1197.
22. P Nozieres and W F Vinen, *Philos. Mag.* **14** (1966) 667.
23. A Freimuth, G Hohn, and M Galffy, *Phys. Rev. B* **44** (1991) 396.
24. S Ullah and A T Dorsey, *Phys. Rev. B* **44** (1991) 262.
25. J E Hirsch and Marsiglio, *Phys. Rev. B* **43** (1991) 424.
26. Z D Wang and C S Ting, *Phys. Rev. B* **46** (1992) 284; Z D Wang and C S Ting, *Phys. Rev. Lett.* **67** (1991) 3618.
27. V Daadmehr and M Akhavan, *Phys. Status Solidi (a)* **193** (2002) 153.
28. T T M Palstra, B Batlogg, R B Van Dover, L F Schneemeyer, and J V Waszczak, *Phys. Rev. B* **41** (1990) 6621.
1. D M Ginsberge, *Physical Properties of High Temperature Superconductors*, vols. I-V (World Scientific, 1989).
2. P H Hor, R L Meng, Y Q Wang, L Gao, Z J Huang, J Bechtold, K Forster, and C W Chu, *Phys. Rev. Lett.* **58** (1987) 1891.
3. M B Maple et al., *Physica B* **148** (1987) 155.
4. D M Ginsberge, *Physical Properties of High Temperature Superconductors*, vol. I (World Scientific, 1989).
5. M Akhavan, *Physica C* **250** (1995) 25; Z Yamani, M Akhavan, *Phys. Rev. B* **56** (1997) 894.
6. A Kebede, C S Jee, J Schwinger, J E Crow, T Mihalisin, G H Myer, R E Salomon, P Schlottmann, M V Kuric, S H Bloom, and R P Guerin, *Phys. Rev. B* **40** (1989) 4453.
7. R F Wood, *Phys. Rev. Lett.* **66** (1991) 829.
8. David P Notton, D H Lowndes, B C Sales, J D Budai, B C Chakoumakos, and H R Kerchner, *Phys. Rev. Lett.* **66** (1991) 1537.
9. M Akhavan, *Physica B*, **321** (2002) 265
10. D M Ginsberg, *Physical Properties of High Temperature Superconductors*, vol. 2, Ch. 7 (World Scientific, 1990).
11. T R Chein, D A Brawner, Z Z Wang, and N P Ong, *Phys. Rev. B* **43** (1991) 6242.
12. Wu Jiang, J L Peng, S J Hagen, and R L Green, *Phys. Rev. B* **46** (1992) 8694.
13. J Clayhold, N P Ong, Z Z Wang, J M Tarascon, and P Barboux, *Phys. Rev. B* **39** (1989) 7324.
14. Y Shimakawa, Y Kubo, T Manako, and H Igarashi, *Phys. Rev. B* **40** (1989) 11400.

- Blackstead, D B Chrisey, J D Dow, J S Horwitz, A E Klunzinger, and D B Pulling, *Phys. Lett.* **A207** (1995) 109.
46. H Sunagawa, M Kaiwa, Y Koike, T Noji and Y Saito, *Physica C* **185-189** (1991) 1271; N A Fortune, K Murata, Y Hidaka, M Ishibashi, Y Yokoyama, F Iga, and Y Nishihara, *Physica C* **185-189** (1991) 1277.
47. H Kamiura, T Schimizu, and H Vshio, *Physica C* **185-189** (1991) 1697.
48. For a survey, see C Hurd, in *The Hall effect and its Applications*, Eds. C L Chein and C R Westgate (Plenum Press, New York, 1980) p.1.
49. I D Parker and R H Friend, *J. Phys. C* **21** (1988) L345.
50. L P Ioffe and A I Larkin, *Phys. Rev. B* **39** (1989) 8999.
51. H E Horng, C H Lin, D S Lee, H H Sung, and H C Yang, *Physica B* **194-196** (1994) 2109.
52. S J Hagen, C J Lobb, and R L Greene, *Phys. Rev. B* **43** (1991) 6246.
53. V Daadmehr, H Naghshara, and M Akhavan, in *Proceedings of the First Regional Conference on Magnetic and Superconducting Materials (MSM-99)* Eds. M Akhavan, J Jensen, and K Kitazawa, vol. A (World Scientific, Singapore, 2000) 335.
54. R Hopfengartner, M Leghissa, G Kreiselmeyer, P Schmitt, B Holzapfel, I Khassanov, J Strobel, and G Saemann-Ischenko, *Physica C* **185-189** (1991) 1281.
55. S N Artemenko, I G Gorlova, and Yu I Latyshev, *Phys. Lett. A* **138** (1989) 428.
56. A G Aronov and S Hikami, *Phys. Rev. B* **41** (1990) 9548.
57. J S Moodera, R Meservey, J E Tkaczyk, C X Hao, G A Gibson, and P M Tedrow, *Phys. Rev. B* **37** (1988) 619.
58. P J M van Bentum, H van Kempen, L EC van de Leemput, J A A J Perenboom, L W M Schreurs, and P A A Teunissen, *Phys. Rev. B* **36** (1987) 5279.
59. B Oh, K Char, A D Kent, M Natio, MR Beasley, T H Geballe, R H Hammond, A Kapitulnik, and J M Graybeal, *Phys. Rev. B* **37** (1988) 7861.
60. R J Elliott, *Magnetic Properties of Rare Earth Metals*, (Plenum Press, London and New York, 1972) 344.
29. J J Kim, H K Lee, J Chung, H J Shin, H J Lee, and J K Ku, *Phys. Rev. B* **43** (1991) 2962; R H Koch, V Foglietti, W J Gallagher, G Koren, A Gupta, and M P A Fisher, *Phys. Rev. Lett.* **63** (1989) 1511.
30. A C Wright, K Zhang and A Erbil, *Phys. Rev. B* **44** (1991) 863.
31. H Iwasaki, O Tanaiguchi, S Kenmochi, and N Kobayashi, *Physica B* **196** (1994) 2117; T T M Palstra, B Batlogg, L F Schneemeyer, and J V Waszczak, *Phys. Rev. Lett.* **61** (1988) 1662.
32. D R Nelson, *Phys. Rev. Lett.* **60** (1988) 1973.
33. A M Campbell and J E Evetts, *Adv. Phys.* **21** (1972), 199; E H Brandt, *Phys. Rev. Lett.* **63** (1989) 1106.
34. P A Fisher, *Phys. Rev. Lett.* **62** (1989) 1415.
35. H Shakeripour and M Akhavan, *Supercond. Sci. Technol.* **14** (2001), 213; V Ambegaokar and I B Halperin, *Phys. Rev. Lett.* **22** (1969) 1364.
٣٦. حسین خسروآبادی، محمدرضا محمدیزاده و محمد اخوان، مجله پژوهش فیزیک ایران، جلد ۳، شماره ۱، ۵۹ (۱۳۸۰)
37. Z Yamani and M Akhavan, *Supercond. Sci. Technol.* **10** (1997) 412.
38. R S Popovic, *Hall Effect Devices*, IOP Publishing Ltd. (1991).
39. V N Narozhnyi and T G Uvarova, *J. Magn. and Magn. Mat.*, XXXC (1996), 7307.
40. L Soderholm, K Zhang, D G Hinks, M A Beno, J D Jorgensen, C U Segre, and I K Schuller, *Nature* **328** (1987) 604; Y Dalichaouch, M S Torikachvili, E A Early, B W Lee, C L Seaman, K N Yang, H Zhou, and M B Maple, *Solid State Commun.*, **65** (1988) 1001.
41. Q Gao and Li-Y Zhang, *Phys. Rev. B* **59** (1994) 10230.
42. J L Peng, P Klavins, R N Shelton, H B Radousky, P A Hahn, and L Bernardez, *Phys. Rev. B* **40** (1989) 4517.
43. J Neumeier and M B Maple, *Physica C* **191** (1992) 158.
44. C Infante, M K Elmously, R Dayal, M Husain, S A Siddigi, and P Ganguly, *Physica C* **167** (1990) 640.
45. H A Blackstead, J D Dow, D B Chrisey, J S Horwitz, M A Black, P J McGinn, A E Klunzinger, and D B Pulling, *Phys. Rev. B* **54** (1996) 6122; H A